

ОДИН КЛАСС ТОЧНЫХ РЕШЕНИЙ УРАВНЕНИЙ  
ИДЕАЛЬНОЙ ПЛАСТИЧНОСТИ

А. Ф. Ревуженко

(Новосибирск)

Построен класс точных решений уравнений идеальной пластичности в случае плоской деформации. Полученные решения описывают пластическое состояние различных клиньев, полуплоскостей с вырезом и в виде воронок от взрыва, пластическое состояние областей в виде рожка и т. д. Многие построенные решения имеют естественные границы — огибающие линий скольжения. Уравнения границ, линий скольжения, а также формулы для вычисления напряжений выписаны в явном виде.

1. Рассмотрим плоскую деформацию идеально пластической среды. Пусть  $(x_1, x_2)$  — декартовы координаты на плоскости  $Ox_1x_2$ ;  $(\lambda_1, \lambda_2)$  — характеристические координаты;  $\sigma$  — первый инвариант тензора напряжений;  $\varphi$  — угол наклона наибольшего главного напряжения к оси  $Ox_1$ ;  $k$  — постоянная материала. В принятых обозначениях уравнения предельного равновесия среды имеют вид [1]:

$$(1.1) \quad \frac{1}{2k} \frac{\partial \sigma}{\partial \lambda_1} - \frac{\partial \varphi}{\partial \lambda_1} = 0; \quad \frac{1}{2k} \frac{\partial \sigma}{\partial \lambda_2} + \frac{\partial \varphi}{\partial \lambda_2} = 0;$$

$$\frac{\partial x_2}{\partial \lambda_1} = \operatorname{tg} \left( \varphi - \frac{\pi}{4} \right) \frac{\partial x_1}{\partial \lambda_1}; \quad \frac{\partial x_2}{\partial \lambda_2} = \operatorname{tg} \left( \varphi + \frac{\pi}{4} \right) \frac{\partial x_1}{\partial \lambda_2}.$$

Введем в плоскости  $Ox_1x_2$  полярные координаты  $(r, \theta)$  и новую неизвестную функцию  $\delta$  — угол между координатными линиями  $\theta = \text{const}$ ;  $\lambda_2 = \text{const}$ . Из уравнений (1.1) и определения  $\delta$  следует, что

$$(1.2) \quad \frac{1}{r} \frac{\partial r}{\partial \lambda_1} = \operatorname{ctg} \delta \frac{\partial \theta}{\partial \lambda_1}; \quad \frac{1}{r} \frac{\partial r}{\partial \lambda_2} = - \operatorname{tg} \delta \frac{\partial \theta}{\partial \lambda_2};$$

$$\varphi = \Phi_1(\lambda_1) - \Phi_2(\lambda_2), \quad \theta = \varphi - \delta - \frac{\pi}{4} =$$

$$= \Phi_1(\lambda_1) - \Phi_2(\lambda_2) - \delta - \frac{\pi}{4},$$

где  $\Phi_1(\lambda_1)$ ,  $\Phi_2(\lambda_2)$  — произвольные функции. Исключая из системы (1.2)  $r$  и  $\theta$ , можно получить одно уравнение относительно  $\delta$

$$\frac{\partial^2}{\partial \lambda_1 \partial \lambda_2} \ln |\operatorname{tg} \delta| + \Phi_2'(\lambda_2) \frac{\partial}{\partial \lambda_1} \operatorname{tg} \delta - \Phi_1'(\lambda_1) \frac{\partial}{\partial \lambda_2} \operatorname{ctg} \delta = 0.$$

Будем искать решение последнего уравнения в классе функций  $\operatorname{tg} \delta = \xi_1(\lambda_1)/\xi_2(\lambda_2)$ . Если  $c_1\Phi_1 + c_2 \gg 0$ ;  $c_1\Phi_2 + c_3 \gg 0$ , где  $c_1, c_2, c_3$  — постоянные, то в рассматриваемом классе решение имеет вид

$$(1.3) \quad \delta = \pm \operatorname{arctg} \sqrt{\frac{c_1\Phi_1 + c_2}{c_1\Phi_2 + c_3}}.$$

При  $c_1=0$  линиями скольжения  $\lambda_1, \lambda_2$  являются либо два семейства логарифмических спиралей, либо два семейства координатных линий  $r=\text{const}$ ;  $\theta=\text{const}$ . Этот вариант рассмотрен в [1]. При  $c_1 \neq 0$  можно без ограничения общности положить  $c_1=1$ ;  $c_2=c_3=0$ ;  $\Phi_1(\lambda_1)=\lambda_1^2=\mu_1$ ;  $\Phi_2(\lambda_2)=\lambda_2^2=\mu_2$ , где  $\mu_1, \mu_2 \geq 0$ . После подстановки (1.3) в (1.2) и (1.1) уравнения (1.1) легко интегрируются:

$$(1.4) \quad \begin{aligned} \frac{\sigma}{2k} &= \rho^2 + \sigma^0; \quad \varphi = \rho^2 \cos 2\nu + \frac{\pi}{2} + \varphi^0; \\ r &= \frac{2r^0}{\rho \sin 2\nu} e^{+\rho^2 \sin 2\nu}; \quad \theta = \rho^2 \cos 2\nu \mp \left( \frac{\pi}{2} - \nu \right) + \frac{\pi}{4} + \varphi^0; \\ \delta &= \pm \left( \frac{\pi}{2} - \nu \right), \end{aligned}$$

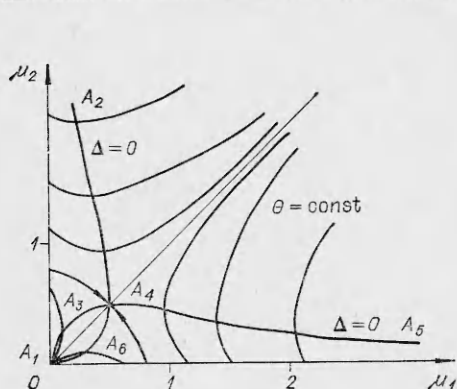
где  $(\rho, \nu)$  — полярные координаты в плоскости параметров  $(\mu_1, \mu_2)$ ;  $r^0, \varphi^0$  — постоянные, отражающие произвольность выбора масштаба длин и начала отсчета угла  $\theta$ ;  $\sigma^0$  — аддитивное постоянное давление. В дальнейшем будем полагать  $r^0=1$ ;  $\varphi^0=0$ ;  $\sigma^0=0$ .

Решение (1.4) удобно исследовать в плоскости параметров  $(\mu_1, \mu_2)$ : координатные линии  $\mu_1, \mu_2$  в этой плоскости являются линиями скольжения на физической плоскости  $Ox_1x_2$ , угол наклона радиуса  $\nu=\text{const}$  к оси  $\mu_2$  равен углу пересечения линии скольжения  $\mu_1$  на физической плоскости с радиусом  $\theta=\text{const}$  и, наконец, квадрат радиуса  $\rho$  на плоскости  $(\mu_1, \mu_2)$  равен безразмерному сжатию  $\frac{\sigma}{2k}$  в соответствующих точках физической плоскости.

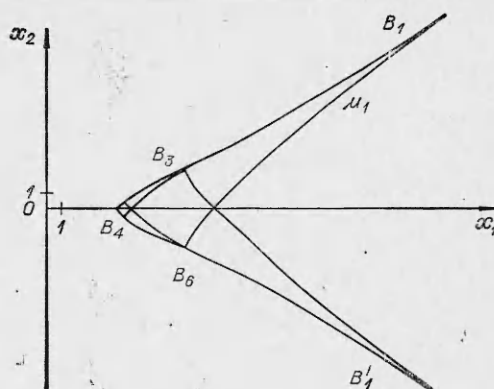
2. Пусть в (1.4) приняты верхние знаки. На однолистной плоскости  $Ox_1x_2$  решение (1.4) может существовать только до линии ветвления  $\Delta=\partial(r, \theta)/\partial(\mu_1, \mu_2)=0$ . Линия  $\Delta=0$  удовлетворяет уравнению  $\sin 2\nu = 4\rho^2/(1+4\rho^4)$  и состоит из двух ветвей  $\rho^2 = \frac{1}{2} \text{ctg} \nu$ ,  $\rho^2 = \frac{1}{2} \text{tg} \nu$  (фиг. 1).

Можно показать, что на плоскости  $Ox_1x_2$  ветвь  $\rho^2 = \frac{1}{2} \text{ctg} \nu$  является огибающей линий скольжения  $\mu_1$  и линией возврата семейства  $\mu_2$ . Аналогично ветвь  $\rho^2 = \frac{1}{2} \text{tg} \nu$  является огибающей семейства линий скольжения  $\mu_2$  и линией возврата семейства  $\mu_1$ . Приращение угла  $\theta$  на плоскости  $Ox_1x_2$  не может быть больше  $2\pi$ . Поэтому в (1.4) можно рассматривать только такие параметры, при которых приращение  $\theta$  меньше  $2\pi$ . Таким образом, рассматривая отображение различных областей на плоскости  $(\mu_1, \mu_2)$ , внутри которых  $\Delta \neq 0$  и изменение  $\theta$  меньше  $2\pi$ , на плоскость  $Ox_1x_2$ , можно получать различные интегралы уравнений (1.1). Полученные интегралы можно интерпретировать как точные решения соответствующих краевых задач.

Построим на плоскости  $(\mu_1, \mu_2)$  линии  $\theta=\theta^0=\text{const}$  и рассмотрим частные решения (1.4). Из (1.4) следует, что области, симметричные на  $(\mu_1, \mu_2)$  относительно биссектрисы  $\mu_1=\mu_2$ , на плоскости  $Ox_1x_2$  симметричны относительно прямой  $\theta=0$ . Если  $0 \leq \theta^0 \leq \pi/4$ , то линия  $\theta=\theta^0$  определена при  $0 \leq \nu \leq \pi/4$ ;  $\pi/4 + \theta^0 \leq \nu \leq \pi/2$ ; если  $\theta^0 > \pi/4$ , то при  $0 \leq \nu < \pi/4$ . При  $\theta=\theta^0 > 0$ ;  $0 \leq \nu < \pi/4$  и  $r \rightarrow \infty$  угол  $\delta \rightarrow \pi/4$  и давление  $\sigma \rightarrow \infty$ ; если же  $0 < \theta^0 < \pi/4$ ;  $\pi/4 + \theta^0 < \nu \leq \pi/2$  и  $r \rightarrow \infty$ , то  $\delta \rightarrow \pi/4 - \theta^0$ ;  $\sigma \rightarrow 0$ . Кроме того,  $\frac{d\mu_1}{d\mu_2} \Big|_{\theta=\theta^0} \geq 0$  при  $\cos 2\nu \times \left( \rho^2 - \frac{1}{2} \text{ctg} \nu \right) \geq 0$ . Рассмотрим течение, соответствующее на  $(\mu_1, \mu_2)$  об-



Фиг. 1



Фиг. 2

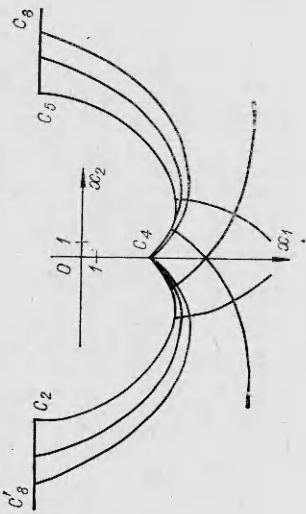
ласти  $A_1A_3A_4A_6A_1$  (фиг. 1). Область  $A_1A_3A_4A_6A_1$  отображается на симметричную клиновидную область  $B_1B_3B_4B_6B_1'$  (фиг. 2). Угол раствора клина равен  $\pi/2$ . Сторона  $B_4B_3B_1$  является огибающей семейства линий  $\mu_1$ . На участке  $B_3B_1 \frac{1}{2} \arccos(1 - \sqrt{5})/2 < v < \pi/2$  кривая  $B_4B_3B_1$  вогнута, на участке  $B_4B_3 \pi/4 \leq v < \frac{1}{2} \arccos(1 - \sqrt{5})/2$  выпукла; при  $r \rightarrow \infty \theta(B_1) \rightarrow \pi/4$ . На сторонах клина действуют постоянное касательное напряжение  $\tau = k$  и стремящееся к нулю при  $r \rightarrow \infty$  нормальное напряжение. При  $x_1 \rightarrow \infty$  напряженное состояние внутри клина стремится к равномерному, линии скольжения стремятся к прямым  $x_2 = \pm x_1 + \text{const}$ , угол  $\varphi \rightarrow \pi/2$  и сжатие  $\sigma \rightarrow 0$ .

Рассмотрим течения, примыкающие с двух сторон к кривой  $A_4A_5$  и ограниченные этой кривой и линией  $\mu_2 = \mu_2^0 = \text{const}$ ;  $0 < \mu_2^0 \leq 1/2$ . На физической плоскости эти течения имеют форму рожка. Внутренняя граница течений является огибающей линией скольжения  $\mu_1$ , внешняя — одна из линий  $\mu_1$ . При  $\theta \rightarrow \infty$  внутренняя и внешняя границы стремятся к дугам окружностей. Похожее течение (по Гартману), ограниченное логарифмическими спиралями, приводится в [2].

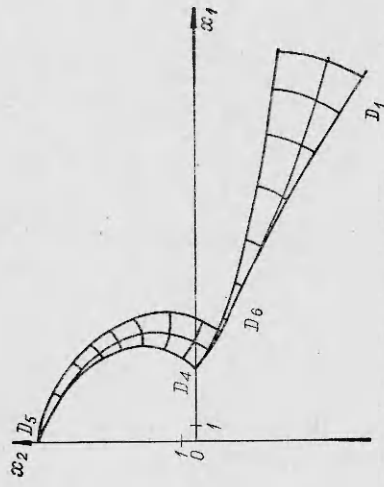
Рассмотрим течение, примыкающее к прямой  $\mu_1 = \mu_2$  и ограниченное линиями  $A_4A_5$ ,  $A_4A_2$  и  $x_1 = x_1^0 = \text{const}$  (фиг. 1, 3). Для определенности  $x_1^0$  выберем так, чтобы на плоскости  $Ox_1x_2$  прямая  $C_5C_8$  была нормальна к кривой  $C_5C_4$ . Можно показать, что в точке  $C_5 \cos 2v = \frac{3}{2} \pi \operatorname{tg} v$ . На границе  $C_4C_5$  действует постоянное касательное напряжение, на поверхности  $C_5C_8$  при  $x_2 \rightarrow \infty$  касательное напряжение быстро убывает ( $\delta \rightarrow \pi/4$ ), а нормальное возрастает ( $\rho \rightarrow \infty$ ). Непосредственно к границе  $C_4C_5$  примыкает течение в виде рожка.

На фиг. 4 изображены линии скольжения течения, соответствующего области  $A_5A_4A_6A_1$  (фиг. 1). Границы  $D_4D_5$ ,  $D_4D_6D_1$  являются огибающими семейств линий скольжения  $\mu_1$ ,  $\mu_2$ . К границе  $D_4D_5$  примыкает течение в виде рожка, к границе  $D_4D_6D_1$  — в виде клина.

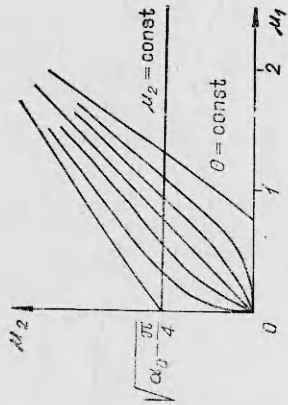
Далее рассмотрим течения, ограниченные на плоскости  $(\mu_1, \mu_2)$  кривыми  $A_4A_5$ ,  $\theta = \theta^0$ ,  $\theta = \theta^0 + \psi^0$ ,  $|\psi^0| < 2\pi$  и осью  $\mu_2 = 0$ . При  $\theta^0 \rightarrow \infty$  внутренняя естественная граница течения и все линии скольжения  $\mu_1$  стремятся к окружностям, а линии скольжения  $\mu_2$  — к радиусам  $\theta = \text{const}$ . Если течение на  $(\mu_1, \mu_2)$  ограничено кривыми  $\theta = \theta^0$ ,  $\theta = \theta^0 + \psi^0$



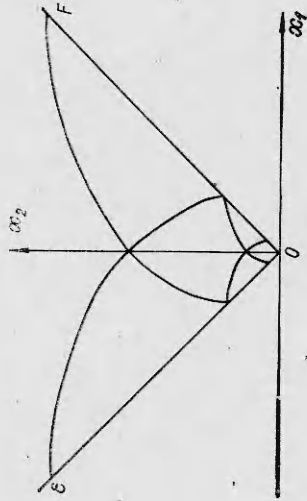
Фиг. 3



Фиг. 4



Фиг. 5



Фиг. 6

и условием  $\rho^2 \geq \frac{1}{2} \operatorname{ctg} \nu$ , то при  $\theta^0 \rightarrow \infty$  внутренняя граница течения стремится к окружности, а оба семейства линий скольжения при  $r \rightarrow \infty$  — к логарифмическим спиральям.

Аналогичные течения реализуются при отображении областей  $\mu_1 \leq \mu_2$ .

3. Пусть в решении (1.4) приняты нижние знаки. В этом случае действительных линий ветвления нет и в формулах (1.4) можно брать любые параметры, при которых приращение угла  $\theta$  меньше  $2\pi$ . Построим в плоскости  $(\mu_1, \mu_2)$  линии  $\theta = \theta^0 = \pi/2 - \alpha_0$ . Можно показать, что на плоскости  $(\mu_1, \mu_2)$  линии  $\pm \alpha_0$  симметричны относительно биссектрисы  $\mu_1 = \mu_2$ . Если  $|\alpha_0| \leq \pi/4$ , то линия  $\theta = \theta^0$  проходит через начало координат  $\mu_1 = \mu_2 = 0$ , причем угол наклона линии в начале координат равен  $\pi/4 + \alpha_0$ . Если  $|\alpha_0| \geq \pi/4$ , то линии  $\theta = \theta^0$  начинаются в точках  $\rho = \sqrt{|\alpha_0| - \pi/4}$ ,  $\nu = 0$  при  $\alpha_0 < 0$  и  $\nu = \pi/2$  при  $\alpha_0 > 0$ . При  $\rho \rightarrow \infty$  все линии  $\theta = \theta^0$  стремятся к биссектрисе  $\mu_1 = \mu_2$  (фиг. 5).

Область  $|\alpha_0| \leq \pi/4$  отображается на четвертьплоскость  $\mathcal{E}OF$  (фиг. 6). При  $x_2 \rightarrow \infty$  напряженное состояние внутри четвертьплоскости стремится к равномерному, линии скольжения стремятся к прямым  $x_2 = \pm x_1 + \text{const}$ ,  $\varphi \rightarrow \pi/2$  и  $\sigma \rightarrow 0$ . Остальные области между кривыми  $\theta = \text{const}$  отображаются на соответствующие клинья в плоскости  $Ox_1x_2$ . При  $|\alpha_0| > \pi/4$ ,  $\theta = \theta^0$  и  $r \rightarrow \infty$  сжатие  $\sigma/2k$  стремится к конечной величине  $|\alpha_0| - \pi/4$ , угол  $\varphi \rightarrow \theta^0 + \pi/4$  при  $\alpha_0 > 0$  и  $\varphi \rightarrow \theta^0 - \pi/4$  при  $\alpha_0 < 0$ . При  $r \rightarrow 0$  и любом  $\theta^0$  линии скольжения стремятся к логарифмическим спиральям  $\delta = -\pi/4$ ,  $\varphi \rightarrow \theta^0$ ,  $\sigma \rightarrow \infty$ . Линия скольжения  $\mu_2 = \mu_2^0 = \text{const}$  при  $\nu \rightarrow 0$  стремится к началу координат  $x_1 = x_2 = 0$ , при этом угол  $\theta \rightarrow \infty$ . Если  $\nu \rightarrow \pi/2$ , то линия скольжения асимптотически приближается к прямой  $\theta = \frac{\pi}{4} - (\mu_2^0)^2$ . Начало координат  $x_1 = x_2 = 0$  в данном решении является особой точкой.

4. При необходимости области течений (1.4) можно ограничивать введением жестких зон или граничных поверхностей. Точно так же из решений можно исключать и особые точки.

Напряжениям (1.4) соответствует некоторое распределение скоростей. Предположим, что материал несжимаем и тензоры напряжений и скоростей деформаций соосны. Так как напряжения известны из (1.4), то уравнения для скоростей можно свести к системе телеграфных уравнений в плоскости, отображение которой на физическую плоскость известно. Исследование последних может быть проведено обычными методами с помощью функции Римана [1].

В заключение выпишем в исходной системе координат уравнения линий скольжения и выражения для напряжений  $\sigma_{11}$ ,  $\sigma_{22}$ ,  $\sigma_{12}$ . В характеристических координатах  $\mu_1, \mu_2$  решение (1.4) имеет вид

$$(4.1) \quad \frac{\sigma}{2k} = \mu_1^2 + \mu_2^2; \quad \varphi = \mu_1^2 - \mu_2^2 + \frac{\pi}{2};$$

$$(4.2) \quad r = \frac{\sqrt{\mu_1^2 + \mu_2^2}}{\mu_1 \mu_2} e^{\pm 2\mu_1 \mu_2}; \quad \theta = \mu_1^2 - \mu_2^2 \mp \arctg \frac{\mu_1}{\mu_2} + \frac{\pi}{4}.$$

При  $\mu_2 = \text{const}$  ( $\mu_1 = \text{const}$ ) и переменном  $\mu_1$  ( $\mu_2$ ) радиус-вектор, определяемый формулами (4.2), описывает в плоскости  $Ox_1x_2$  одну из линий скольжения семейства  $\mu_1(\mu_2)$ . При этом соответствующие напряжения можно

вычислить по правилам тензорного проектирования и формулам (4.1)

$$\sigma_{11} = \sigma + k \cos 2\varphi = 2k(\mu_1^2 + \mu_2^2) - k \cos 2(\mu_1^2 - \mu_2^2);$$

$$\sigma_{22} = \sigma - k \cos 2\varphi = 2k(\mu_1^2 + \mu_2^2) + k \cos 2(\mu_1^2 - \mu_2^2);$$

$$\sigma_{12} = k \sin 2\varphi = -k \sin 2(\mu_1^2 - \mu_2^2).$$

Автор выражает благодарность Е. И. Шемякину за ценные замечания.

*Поступила 18 III 1974*

#### ЛИТЕРАТУРА

1. Фрейденталь А., Гейрингер Х. Математические теории неупругой сплошной среды. М., Физматгиз, 1962.
2. Надаи А. Пластичность и разрушение твердых тел. Т. 2. М., «Мир», 1969.